

01;03

СВЕРХЗВУКОВОЕ ОБТЕКАНИЕ ЗАТУПЛЕННОГО ТЕЛА, КОЛЕБЛЮЩЕГОСЯ ПО УГЛУ АТАКИ

© Ю.П. Головачев, Н.В. Леонтьева, Ю.М. Липницкий¹

Физико-технический институт им. А.Ф. Иоффе РАН,
194021 Санкт-Петербург, Россия

¹ Центральный научно-исследовательский институт машиностроения,
141070 Калининград, Московская область, Россия
(Поступило в Редакцию 11 января 1995 г.)

Нестационарное течение газа у поверхности колеблющегося затупленного тела рассматривается в нелинейной трехмерной постановке с использованием модели вязкого ударного слоя. Численное решение находится с помощью неявной конечно-разностной схемы постоянного направления. Результаты расчетов демонстрируют влияние нестационарности обтекания на аэродинамические характеристики. Исследуется зависимость нестационарных эффектов от частоты колебаний, чисел Рейнольдса, Маха и температурного фактора.

Введение

Колебания относительно балансировочного угла атаки оказывают существенное влияние на аэродинамические характеристики и устойчивость движения тел, летящих со сверхзвуковой скоростью. Из-за технических трудностей и высокой стоимости натурных и лабораторных экспериментов основным источником информации о нестационарных аэродинамических характеристиках колеблющихся тел при сверхзвуковом обтекании являются теоретические исследования. Такие исследования проводились ранее в рамках моделей идеального газа и пограничного слоя. При этом в большинстве работ анализ существенно упрощался предположениями о малости амплитуды и частоты колебаний тела (см., например, [1–6]).

В настоящей работе предлагается постановка задачи, основанная на модели вязкого ударного слоя. При этом вся возмущенная область между поверхностью тела и головной ударной волной рассчитывается с использованием уравнений динамики вязкого газа без выделения областей невязкого течения пристеночного пограничного слоя. Применение такого подхода существенно упрощает учет вязко-невязкого взаимодействия, что позволяет расширить исследуемый диапазон условий обтекания в сторону течений с большими числами Струхала и меньшими числами Рейнольдса. Задача решается в нелинейной трехмерной постановке, не содержащей ограничений на значения балансировочного угла атаки, амплитуду и частоту колебаний тела.

Постановка задачи

Рассматривается сверхзвуковое обтекание затупленного тела вращения, ось которого OX составляет угол атаки α с вектором скорости набегающего потока V_∞ , лежащим в плоскости $X0Y$ декартовой системы координат (рис. 1). Тело совершает колебания вокруг оси OZ .

Исследуемые течения характеризуются числами Рейнольдса $Re_\infty \geq 10^2$. Поэтому расчеты проводятся с выделением головной ударной волны с использованием упрощенных уравнений Навье-Стокса, которые включают в себя лишь наибольшие из членов, описывающих молекулярный перенос импульса и энергии. Исходные уравнения записываются с использованием вектора относительной скорости газа V в подвижной криволинейной системе координат, жестко связанной с обтекаемым телом. Криволинейная система координат q^i ($i = 1, 2, 3$) строится на основе сферической системы (r, θ, ϕ)

$$q^1 = \theta, \quad q^2 = (r - r_w)/(r_s - r_w), \quad q^3 = \phi, \quad (1)$$

где $r = r_w(\theta, \phi)$, $r = r_s(\theta, \phi, t)$ — уравнения поверхностей тела и головной ударной волны.

Для совершенного газа с постоянной теплоемкостью исходная система уравнений в тензорной форме имеет вид

$$\partial \rho / \partial t + (V^j - D^j) \nabla_j \rho + \rho \nabla_j V^j = 0, \quad (2)$$

$$\rho (\partial V^2 / \partial t + V^j \nabla_j D^2) + \rho (V^j - D^j) \nabla_j V^2 + g^{2j} \nabla_j p - \rho F^2 = 0, \quad (3)$$

$$\begin{aligned} \rho (\partial V_i / \partial t - V_j \nabla_i D^j) + \rho (V^j - D^j) \nabla_j V_i + \nabla_i p - \\ - g^{22} \nabla_2 (\mu \nabla_2 V_i) - \rho F_i = 0 \quad (i = 1, 3), \end{aligned} \quad (4)$$

$$\begin{aligned} \rho \partial e / \partial t + \rho (V^j - D^j) - \nabla_j e + p \nabla_j V^j - \\ - g^{22} (\nabla_2 \lambda \nabla_2 T + \mu \nabla_2 V_j \nabla_2 V^j) = 0. \end{aligned} \quad (5)$$

Здесь V_i, V^i — ко- и контравариантные составляющие вектора относительной скорости газа; D^i — контравариантные составляющие вектора скорости системы координат, обусловленной движением головной

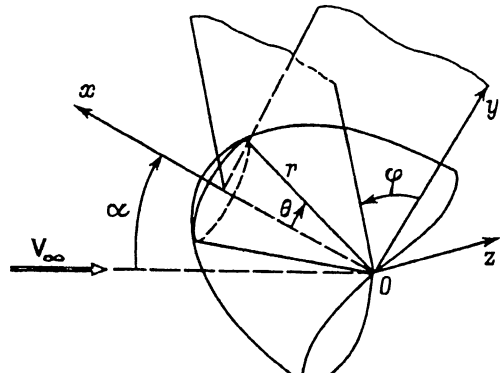


Рис. 1. Схема течения и система координат.

ударной волны; e — удельная внутренняя энергия газа; μ, λ — коэффициенты вязкости и теплопроводности газа; g^{ij} — контравариантные компоненты метрического тензора; F_1, F_2, F_3 — составляющие вектора $\mathbf{F} = \mathbf{W}_e + \mathbf{W}_c$, представляющего собой сумму переносного ускорения \mathbf{W}_e и ускорения Кориолиса \mathbf{W}_c ; остальные обозначения общепринятые. В системе (2)–(5) уравнения баланса импульса записаны для ковариантных составляющих по координатам q^1, q^3 и контравариантной составляющей по q^2 . Векторные величины задаются их проекциями на оси декартовой системы координат (XYZ). Тензорные составляющие и тензорные производные векторов вычисляются по декартовым составляющим с помощью формул тензорного анализа [7].

Остановимся на вычислении компонент вектора \mathbf{F} . В рассматриваемом случае вектор переносной скорости и переносное ускорение определяются формулами

$$\mathbf{V}_e = \boldsymbol{\Omega} \times \mathbf{r}, \quad \mathbf{W}_e = \frac{d\boldsymbol{\Omega}}{dt} \times \mathbf{r} + \boldsymbol{\Omega} \times (\boldsymbol{\Omega} \times \mathbf{r}), \quad (6)$$

где \mathbf{r} — радиус-вектор рассматриваемой точки; $\boldsymbol{\Omega}$ — вектор угловой скорости системы координат, жестко связанной с обтекаемым телом.

Ускорение Кориолиса находится по формуле

$$\mathbf{W}_c = 2(\boldsymbol{\Omega} \times \mathbf{V}). \quad (7)$$

Поскольку вектор $\boldsymbol{\Omega}$ направлен по оси Z , для декартовых составляющих вектора \mathbf{F} имеем

$$\begin{aligned} F_x &= -\ddot{\alpha}r \sin q^1 \cos q^3 - \dot{\alpha}(\dot{\alpha}r \cos q^1 + 2V_y), \\ F_y &= \ddot{\alpha}r \sin q^1 - \dot{\alpha}(\dot{\alpha}r \sin q^1 \cos q^3 - 2V_x), \\ F_z &= 0, \end{aligned} \quad (8)$$

где $\dot{\alpha}, \ddot{\alpha}$ — производные по времени от угла атаки $\alpha(t)$; V_x, V_y — проекции вектора относительной скорости газа на оси декартовой системы координат.

Границные условия задачи формулируются следующим образом. На головной ударной волне используются соотношения Ренкина–Гюгонио, записанные с использованием вектора относительной скорости набегающего потока в связанной с телом системе координат. На поверхности тела все три составляющие вектора относительной скорости газа принимаются равными нулю, температура задается постоянной. Вниз по потоку расчетная область ограничивается поверхностью $q^1 = \pi/2$, на которой используются приближенные условия вида

$$\partial^2 f / \partial(q^1)^2 = 0, \quad (9)$$

соответствующие предположению о достаточной гладкости решения по координате q^1 в окрестности рассматриваемой границы. Предполагается симметрия исследуемого течения относительно плоскости $\phi = 0, \pi$, ограничивающей расчетную область по координате q^3 . На этой границе используются условия симметрии. Интегрирование по времени проводится от известного стационарного решения до установления периодического режима обтекания.

Численный метод

Решение задачи получено с помощью метода [8], основные этапы которого состоят в следующем.

В области $0 \leq q^1 \leq \pi/2$, $0 \leq q^2 \leq 1$, $0 \leq q^3 \leq \pi$, $t \geq 0$ вводится разностная сетка

$$q_k^1 = (k - 1/2)\Delta q^1, \quad \Delta q^1 = \pi/2K, \quad k = 1, 2, \dots, K,$$

$$q_l^2 = l\Delta q^2, \quad \Delta q^2 = 1/L, \quad l = 0, 1, \dots, L,$$

$$q_m^3 = (m - 1/2)\Delta q^3, \quad \Delta q^3 = \pi/(M - 1/2), \quad m = 1, 2, \dots, M;$$

$$t^n = n\Delta t, \quad n = 0, 1, 2, \dots . \quad (10)$$

Уравнения (2)–(5) аппроксимируются на сетке (10) с использованием следующих разностных отношений:

$$\frac{\partial z}{\partial t} \sim \frac{1}{\Delta t}(z^n - z^{n-1})_{k,l+1/2,m},$$

$$\frac{\partial z}{\partial q^1} \sim \frac{1}{2 \sin \Delta q^1}(z_{k+1} - z_{k-1})_{l+1/2,m}^n,$$

$$\frac{\partial z}{\partial q^2} \sim \frac{1}{\Delta q^2}(z_{l+1} - z_l)_{k,m}^n,$$

$$\frac{\partial z}{\partial q^3} \sim \frac{1}{2 \sin \Delta q^3}(z_{m+1} - z_{m-1})_{k,l+1/2}^n,$$

$$\frac{\partial}{\partial q^2} \left(\gamma \frac{\partial z}{\partial q^2} \right) \sim \frac{1}{2(\Delta q^2)^2} \left[\gamma_{l+1}(z_{l+2} - z_l) - \gamma_l(z_{l+1} - z_{l-1}) \right]_{k,m}^n, \quad (11)$$

где z, γ — любые сеточные функции.

Заметим, что формулы (11) являются точными в простейших частных случаях однородного и осесимметричного потоков, что устраняет нефизические осцилляции численного решения в окрестности луча $q^1 = 0$ [8].

В результате разностной аппроксимации в каждом внутреннем узле сетки получается система из пяти алгебраических уравнений

$$(H_i)_{k,l+1/2,m}^n = 0, \quad i = 1, \dots, 5; \quad k = 1, 2, \dots, K,$$

$$l = 0, 1, \dots, L; \quad m = 1, 2, \dots, M. \quad (12)$$

Из-за того что уравнения второго порядка (4) и (5) аппроксимируются в узлах с полуцелыми значениями индекса l , система разностных уравнений на каждом луче q^2 вместе с аппроксимациями краевых условий содержит три избыточных уравнения. Анализ обусловленности одномерной разностной задачи на луче показывает, что избыточными и подлежащими исключению являются разностные аналоги уравнений (4) и (5) при $l = 0$.

Значения функций на новом временном слое находятся методом последовательных приближений. Вычисляя производные по q^1 и q^3 по результатам предыдущей итерации, в каждом приближении получаем линейную систему алгебраических уравнений, которая распадается на независимые подсистемы на лучах q^2 , расположенных поперек ударного слоя. Эти подсистемы решаются прогонкой. Благодаря выбору для вектора скорости ковариантных составляющих по q^1 и q^3 , соответствующие уравнения баланса импульса на каждом луче представляют собой независимые скалярные уравнения. Их решение, дающее значения V_1 и V_3 , находится скалярными прогонками. Для решения оставшихся трех уравнений применяется векторная прогонка. Таким образом находятся значения функций во всех узлах сетки на рассматриваемом луче, а также скорость движения головной ударной волны. Далее вычисляются декартовы составляющие вектора скорости и уточняется значение отхода головной ударной волны. После выполнения этих вычислений на всех лучах проводится следующая итерация, а при достижении требуемой точности следующий шаг по времени.

Рассмотренная выше конечно-разностная схема обеспечивает второй порядок точности по пространственным координатам и первый по времени. Большинство расчетов выполнено на сетке с числом узлов $K \times L \times M = 24 \times 30 \times 9$. Узлы сгущались к поверхности тела с помощью логарифмического преобразования поперечной координаты q^2 . Шаги сетки по направлениям q^1 и q^3 выбирались постоянными. Точность результатов контролировалась сравнением решений, полученных на сетках с различным числом и расположением узлов. Для обсуждаемых ниже результатов она оценивается в 1–2%.

Программа, реализующая рассмотренный выше алгоритм, может использоваться и для расчета сверхзвукового обтекания тупых тел идеальным газом. В этом случае следует задать $\mu = \lambda = 0$, сохранить при $l = 0$ разностные аппроксимации всех уравнений и исключить граничные условия на поверхности тела для температуры и составляющих скорости V_1 , V_3 . Заметим также, что значительное ускорение счета может быть получено при одновременном выполнении вычислений на лучах с использованием параллельных вычислительных систем.

Результаты расчетов

Обсуждаемые ниже результаты соответствуют обтеканию параболоида вращения, вершина которого размещается на оси X на расстоянии 3.5 радиусов затупления от начала координат (рис. 1). Отношение удельных теплоемкостей газа $\gamma = 1.4$, коэффициент вязкости вычисляется по формуле Сазерленда для воздуха, число Прандтля $Pr = 0.7$. Число Рейнольдса Re_∞ определяется по параметрам набегающего потока и радиусу затупления тела R .

Без потери общности можно ограничиться рассмотрением гармонических колебаний тела относительно нулевого угла атаки, при которых $\alpha(t) = \alpha_0 \cos(\omega t)$. Представленные ниже результаты получены при амплитуде изменения угла атаки $\alpha_0 = 5^\circ$.

Остановимся вначале на результатах расчетов аэродинамических характеристик.

На рис. 2–5 представлена зависимость коэффициентов момента тангенса C_m (а), осевой силы C_x (б) и нормальной силы C_y (в) от чисел

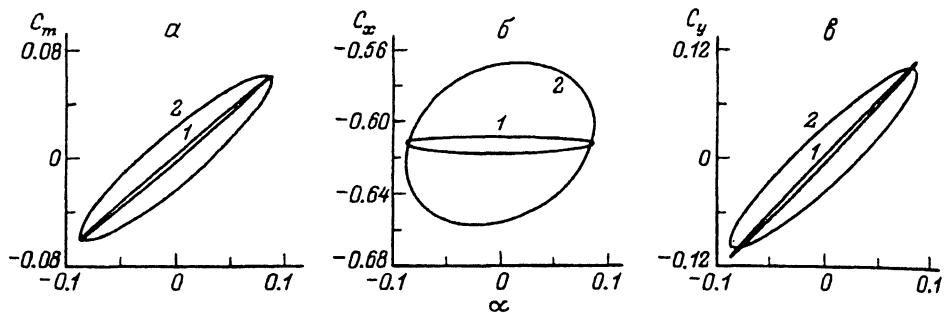


Рис. 2. Влияние числа Струхала на изменение аэродинамических характеристик.

$M_\infty = 2$, $Re_\infty = 10^4$, $T_w = 0.56T^*$; Sh: 1 — 0.01, 2 — 0.1.

Струхала, Рейнольдса, Маха и температурного фактора. Аэродинамические коэффициенты вычислены без учета вклада кормовой части тела. Коэффициент момента C_m вычислен относительно начала координат, число Струхала $Sh = \omega R/V_\infty$.

Рис. 2 демонстрирует зависимость аэродинамических характеристик от частоты колебаний тела. Видно, что при $Sh = 0.1$ обтекание уже является существенно нестационарным.

На рис. 3 представлены результаты, иллюстрирующие влияние разреженности набегающего потока. Здесь сплошные и штриховые линии соответствуют числам Рейнольдса $Re_\infty = 10^5$ и 10^3 . Видно, что влияние разреженности заметно сказывается только на коэффициенте осевой силы C_x , причем, как показывает анализ численных решений, это влияние обусловлено главным образом эффектом вытеснения газа пограничным слоем. Вклад трения в аэродинамические силы и моменты не превышает нескольких процентов даже при $Re_\infty = 10^3$, убывая с увеличением числа Рейнольдса пропорционально $Re_\infty^{-1/2}$. Штрихпунктирной линией на рис. 3, б нанесены результаты расчета в рамках модели идеального газа. Для коэффициентов C_m и C_y модель идеального газа дает значения, совпадающие с результатами расчета вязкого ударного слоя при $Re_\infty = 10^5$.

На рис. 4 представлены результаты расчетов аэродинамических характеристик при различных числах Маха M_∞ . Сплошными и штрих-

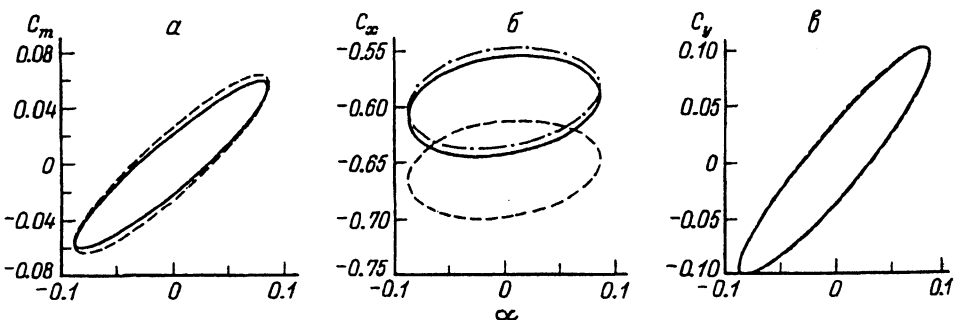


Рис. 3. Влияние числа Рейнольдса на изменение аэродинамических характеристик. ($M_\infty = 2$, $Sh = 0.1$, $T_w = 0.56T^*$).

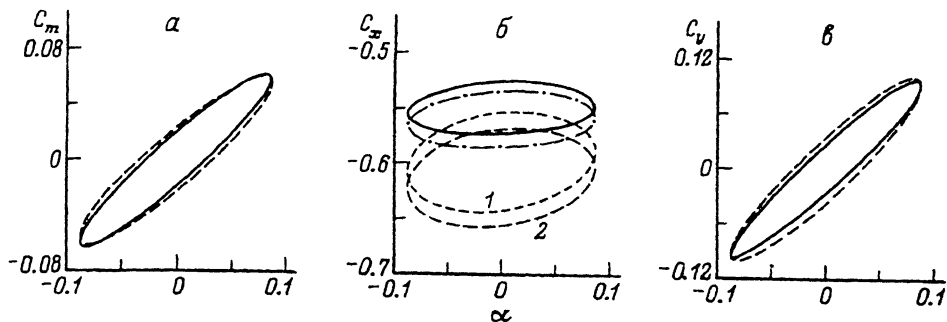


Рис. 4. Влияние числа Маха и температурного фактора на изменение аэродинамических характеристик. ($Re^* = 1.08 \times 10^4$, $Sh = 0.1$).

ховыми линиями нанесены результаты расчетов при $M_\infty = 15$ и 2. Штрихпунктир на рис. 4, б соответствует $M_\infty = 6$. Значения коэффициентов C_m и C_y для $M_\infty = 6$ совпадают с рассчитанными для $M_\infty = 15$. Все представленные на рис. 4 результаты соответствуют одному и тому же значению числа Рейнольдса $Re^* = \rho_0 V_\infty R / \mu(T^*)$, где T^* — температура торможения набегающего потока. Известно, что при больших сверхзвуковых скоростях использование критерия подобия Re^* исключает зависимость стационарных характеристик обтекания затупленных тел от числа Маха M_∞ [9]. Представленные на рис. 4 результаты подтверждают универсальный характер критерия подобия Re^* и для случая нестационарного обтекания.

Рассмотренные выше результаты были получены при значении температурного фактора $T_w = 0.1T^*$. Для иллюстрации влияния температуры обтекаемой поверхности на аэродинамические характеристики на рис. 4, б штриховой линией 2 нанесены значения коэффициента осевой силы при $M_w = 2$, $T_w = 0.56T^*$. Сравнение с результатами расчета при $T_w = 0.1T^*$ (штриховая кривая 1) показывает некоторое увеличение абсолютного значения C_x при повышении температуры обтекаемой поверхности, что объясняется утолщением пограничного слоя. Влияние температурного фактора на коэффициенты момента и нормальной силы пренебрежимо мало.

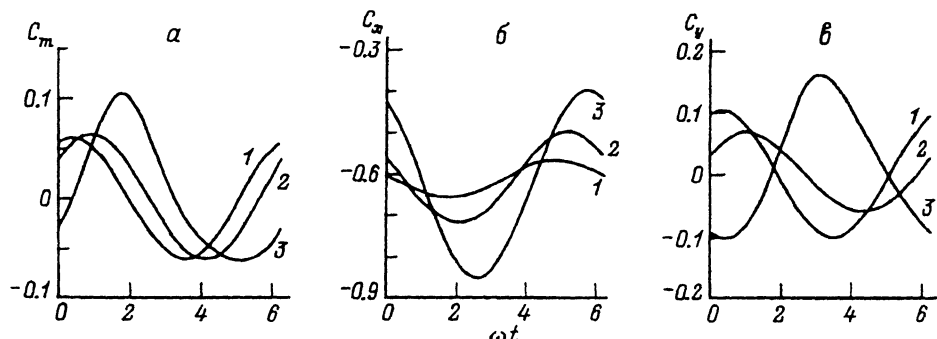


Рис. 5. Изменение аэродинамических характеристик в течение периода колебаний тела.

$M_\infty = 2$, $Re_\infty = 10^4$, $T_w = 0.56T^*$; Sh : 1 — 0.01, 2 — 0.25, 3 — 0.5.

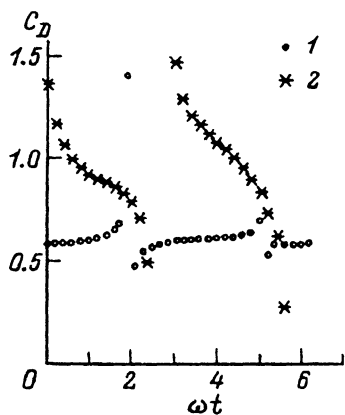


Рис. 6. Изменение коэффициента центра давления в течение периода колебаний тела.

$M_\infty = 2$, $Re_\infty = 10^4$, $T_w = 0.56T^*$;
Sh: 1 — 0.01, 2 — 0.25.

На рис. 5 показано изменение аэродинамических коэффициентов в течение одного периода колебаний тела при разных числах Струхаля. Можно видеть наличие фазового сдвига в изменении аэродинамических коэффициентов по сравнению с изменением угла атаки, причем этот сдвиг увеличивается с увеличением Sh. Интересно отметить возникающую при увеличении числа Струхаля несимметрию изменения коэффициентов C_m и C_y относительно нулевого значения угла атаки, а также немонотонное изменение экстремальных значений C_y с увеличением Sh.

На рис. 6 показано изменение коэффициента центра давления $C_D = C_m/C_y$ при двух значениях числа Струхаля. Видно, во-первых, что нулевое значение коэффициента нормальной силы достигается в более поздние моменты времени по сравнению с нулевым значением угла атаки. С увеличением частоты колебаний тела указанное выше запаздывание увеличивается, а сам коэффициент C_D начинает изменяться в довольно широких пределах, что означает заметное перемещение центра давления по оси тела.

Перейдем теперь к рассмотрению локальных характеристик обтекания. На рис. 7 представлены распределения давления (*a*), теплового потока (*b*) и коэффициента трения (*c*) по поверхности тела в плоскости симметрии $\phi = 0, \pi$ в моменты времени, когда угол атаки изменяет знак, переходя в область положительных значений (сплошные кривые) и в

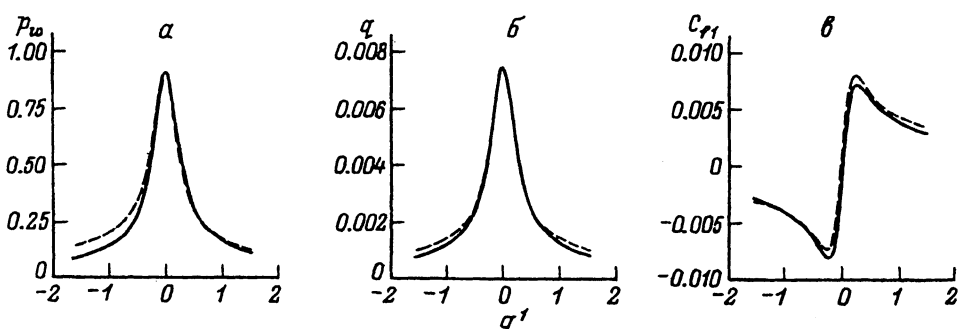


Рис. 7. Распределения давления, теплового потока и коэффициента трения по поверхности тела в плоскости симметрии при нулевом угле атаки.

$M_\infty = 15$, $Re_\infty = 10^5$, $T_w = 0.1T^*$, $Sh = 0.1$.

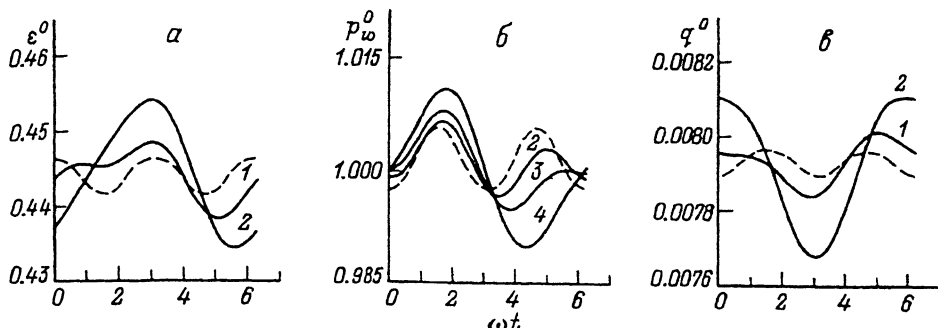


Рис. 8. Изменение локальных характеристик обтекания в течение периода колебаний тела.

$M_\infty = 2$, $Re_\infty = 10^4$, $T_w = 0.56T^*$; Sh: 1 — 0.05, 2 — 0.1, 3 — 0.15, 4 — 0.2.

область отрицательных значений (штриховые кривые). При этом угловая скорость тела принимает максимальное значение. Положительные значения координаты q^1 соответствуют полу平面 $\phi = 0$, отрицательные — полу平面 $\phi = \pi$ (рис. 1). Значения давления, теплового потока и напряжения трения отнесены к $\rho_\infty V_\infty^2$, $\rho_\infty V_\infty^3$ и $\rho_\infty V_\infty^2/2$.

Рис. 8 демонстрирует изменение характера временной зависимости локальных характеристик обтекания при увеличении частоты колебаний тела. Здесь показано изменение отхода головной ударной волны (a), давления (б) и теплового потока (в) в вершине параболоида в течение одного периода колебаний тела при различных числах Струхаля. Штриховыми линиями представлены результаты для квазистационарного режима обтекания. В этом случае период изменения указанных характеристик равен половине периода колебаний тела. С увеличением частоты колебаний возникает фазовый сдвиг и период изменения локальных характеристик обтекания становится постепенно равным периоду колебаний тела. При этом значения рассматриваемых характеристик обтекания зависят уже не только от абсолютной величины угла атаки, но и от его знака. Для отхода головной ударной волны и теплового потока отмеченные изменения происходят при меньших числах Струхаля, чем для давления. Они отражаются и на изменении суммарных аэродинамических характеристик (рис. 5). Несмотря на очевидную эквивалентность двух полупериодов колебаний тела с точки

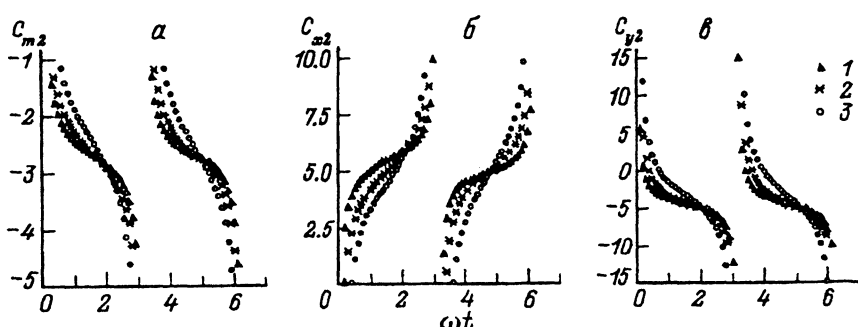


Рис. 9. Изменение коэффициентов линейного приближения (13) в течение периода колебания тела.

$M_\infty = 2$, $Re_\infty = 10^4$, $T_w = 0.56T^*$; Sh: 1 — 0.05, 2 — 0.1, 3 — 0.5.

зрения условий обтекания при установившемся периодическом режиме, во всех расчетах разность значений аэродинамических характеристик при соответственных положительных и отрицательных значениях угла атаки оказывалась одного знака. Такой результат был получен на сетках с различным числом и расположением плоскостей $\phi = \text{const}$ при различных начальных условиях. Отмеченная особенность может объясняться нарушением симметрии исследуемого течения относительно плоскости $\phi = 0, \pi$, возможность которого не учитывалась в расчетах.

Решение задачи в нелинейной постановке позволяет оценить погрешность широко используемой линейной теории, в которой аэродинамические характеристики тела, колеблющегося относительно нулевого угла атаки, представляются в виде

$$C = C_0 + \alpha C_1 + \dot{\alpha} C_2, \quad (13)$$

где C_0 соответствует осесимметричному стационарному обтеканию, второй член в правой части дает поправку на пространственный характер обтекания в предположении квазистационарности, третий член учитывает нестационарные эффекты.

На рис. 9 показано изменение в течение периода колебаний тела коэффициентов C_{m2} (а), C_{x2} (б) и C_{y2} (в), полученных вычитанием из решения нелинейной трехмерной задачи результатов расчета квазистационарного обтекания и делением разности на $\dot{\alpha}$. Расслоение кривых по числам Струхала характеризует погрешность линейной теории.

Заключение

Выполненные в нелинейной трехмерной постановке расчеты нестационарного сверхзвукового обтекания колеблющегося затупленного тела дают количественное представление о границах применимости квазистационарного и линейного приближений. Результаты расчетов дают также оценки вкладов давления и поверхностного трения в аэродинамические характеристики и демонстрируют зависимость этих характеристик от чисел Струхала, Рейнольдса, Маха и температурного фактора. Дальнейшего исследования требует вопрос о возможном нарушении симметрии течения относительно плоскости, содержащей вектор скорости набегающего потока.

Работа выполнена при финансовой поддержке Российского фонда фундаментальных исследований (№ 93-02-14797).

Список литературы

- [1] Carrier G.F. // JAS. 1949. V. 16. N 3.
- [2] King W.S. // AIAA J. 1966. N 6. P. 994–1001.
- [3] Телегин Г.Ф., Липницкий Ю.М. // Изв. АН СССР. МЖГ. 1966. № 4. С. 19–29.
- [4] Орлик-Рюнemann К.Дж. // Ракетная техника и космонавтика. 1972. № 9. С. 5–7.
- [5] Белоцерковский О.М., Головачев Ю.П., Грудницкий В.Г. и др. М.: Наука, 1974.
- [6] Липницкий Ю.М., Платонов В.А., Покровский А.Н., Сиренко В.Н., Шманенков В.Н. // Изв. АН СССР. МЖГ. 1983. № 3. С. 53–58.
- [7] Кочин Н.Е. Векторное исчисление и начала тензорного исчисления. М.: Наука, 1965.
- [8] Карякин В.Е., Попов Ф.Д. // ЖВМиМФ. 1977. Т. 17. № 6. С. 1545–1555.
- [9] Гусев В.Н. // Изв. РАН. МЖГ. 1993. № 2. С. 142–152.